

Corrigé DM2 (2018)

EXERCICE 1 : Décalage de fréquence d'un oscillateur.

1) Bloc ① : filtre

a) "Basses fréquences": $x \rightarrow 0$ ($\frac{1}{x} \gg x$) ($\frac{1}{x} \gg 1$)

$$\underline{H} \sim \frac{A_0}{-jQ\frac{1}{x}} = jx \frac{A_0}{Q}$$

$$\Rightarrow |H| = x \frac{A_0}{Q} \text{ et } g_{dB} = 20 \log_{10} |H| = 20 \log_{10} \left(\frac{x A_0}{Q} \right)$$

→ équation de l'asymptote aux "BF":

$$\begin{aligned} g_{dB} &= 20 \log_{10} x + 20 \log_{10} \left(\frac{A_0}{Q} \right) \\ &\underset{x \rightarrow 0}{\approx} -20 - 20 \log_{10} Q \\ &\underset{x \rightarrow 0}{\approx} -48 \text{ dB}. \end{aligned}$$

"Hauts fréquences": $x \rightarrow \infty$

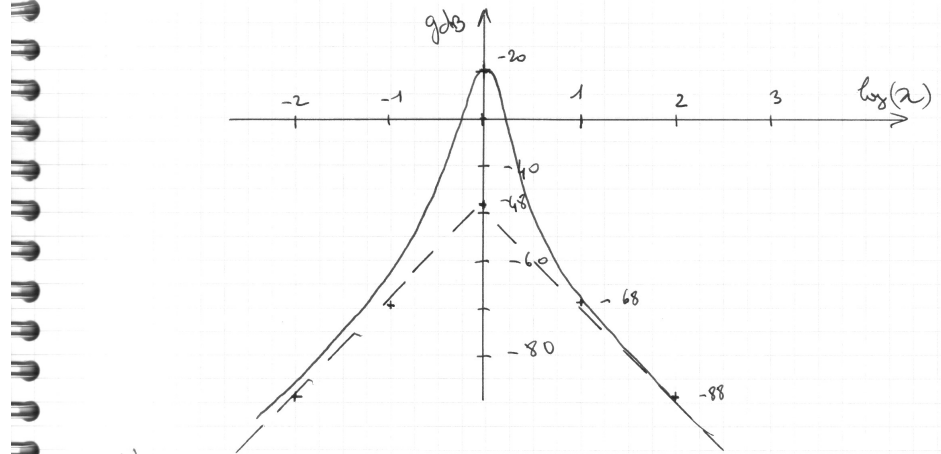
$$\underline{H}_{x \rightarrow \infty} \sim \frac{A_0}{jQx} \Rightarrow g_{dB} \underset{x \rightarrow \infty}{\rightarrow} -20 \log x + \underbrace{20 \log_{10} \left(\frac{A_0}{Q} \right)}_{-48 \text{ dB}}.$$

b) Pour représenter le diagramme de Bode du gain en dB, il nous semble nécessaire de calculer également la valeur en $x=1$.

$$g_{dB}(x=1) = 20 \log_{10} \left(\frac{A_0}{Q} \right) = -20 \text{ dB}.$$

(diagramme page suivante).

c) Il s'agit naturellement d'un filtre passe-bande du second ordre et de facteur de qualité assez satisfaisant (25).



d) Le Bloc ④ apparaît comme 1 filtre comprenant deux impédances en série: $\underline{z}_1 = R_0$ et $\underline{z}_2 = \frac{1}{Q_L} = \frac{1}{1 + \frac{1}{jLw} + jCw}$

(puisque il est "à miel" dans la mesure où le courant entrant dans l'ALI qui le suit est très faible).

On écrit donc par division de tension:

$$\underline{H} = \frac{\underline{U}_2}{\underline{U}_1} = \frac{\underline{z}_2}{\underline{z}_1 + \underline{z}_2} = \frac{1}{\frac{\underline{z}_1}{\underline{z}_2} + 1} = \frac{1}{1 + \left(\frac{1}{R_0} + \frac{1}{jLw} + jCw \right) * R_0}$$

$$\underline{H} = \frac{R}{R_0 + R + R_0 \left(\frac{1}{jLw} + jCw \right)} = \frac{\frac{R}{R_0 + R}}{1 + \frac{R_0 R}{R_0 + R} \left(\frac{1}{jLw} + jCw \right)}$$

$$\underline{H} = \frac{\frac{R}{R_0 + R}}{1 + \frac{R_0 R}{R_0 + R} \sqrt{\frac{C}{L}} \left(\frac{1}{j\sqrt{LC}w} + j\sqrt{LC}w \right)}$$

$$\text{avec } \boxed{w_0 = \frac{1}{\sqrt{LC}}} ; \boxed{A_0 = \frac{R}{R_0 + R}} ; \boxed{Q = \frac{R_0 R}{R_0 + R} \sqrt{\frac{C}{L}}}$$

2) Bloc "ALI"

a) ALI suppose idéal + rétroaction stabilisante (sortie vers e^-)

$$\Rightarrow E \equiv V_+ - V_- = 0 \quad (\text{fonctionnement en régime linéaire possible}).$$

Ainsi U_2 se retrouve sur R_1 et U_3 est sur $(R_1 + R_2)$ en série

$$\text{Ainsi par division de tension: } \frac{U_3}{U_2} = \frac{R_1 + R_2}{R_1} = G$$

b) $k = |G| = G = \frac{R_1 + R_2}{R_1}$ (intérêt de cette question?)

3°) Système bouclé:

- a) $\underline{m}_3 = \underline{m}_1$ à la fermeture de l'interrupteur
Or \underline{m}_2 pouvait s'écrire de deux façons:

$$\underline{H} \underline{m}_2 = \underline{m}_2 = \frac{\underline{m}_3}{k}$$

donc $\underline{H} \underline{m}_3 = \frac{\underline{m}_3}{k}$

donc: $\frac{A_0}{1+jQ(\omega - \omega_0)} \underline{m}_3 = \frac{\underline{m}_3}{k}$

on trouve: $KA_0 \underline{m}_3 = \underline{m}_3 + \frac{Q}{\omega_0} j\omega \underline{m}_3 + Q\omega_0 \left(\frac{1}{j\omega}\right) \underline{m}_3$
en multipliant par $j\omega$:

$$j\omega KA_0 \underline{m}_3 = j\omega \underline{m}_3 + \frac{Q}{\omega_0} (j\omega)^2 \underline{m}_3 + Q\omega_0 \underline{m}_3$$

équivalent à l'équation différentielle linéaire du second ordre:

$$\boxed{\frac{Q}{\omega_0} \frac{d^2 \underline{m}_3}{dt^2} + (1-KA_0) \frac{d \underline{m}_3}{dt} + Q\omega_0 \underline{m}_3(t) = 0}$$

On en tire:

$$\boxed{\frac{d^2 \underline{m}_3}{dt^2} + \frac{\omega_0}{Q} (1-KA_0) \frac{d \underline{m}_3}{dt} + \omega_0^2 \underline{m}_3(t) = 0}$$

b) Pour que s'établissent des oscillations quasi-sinusoidales il faut se placer très légèrement dans la zone de divergence des oscillations (les non-linéarités empêchent la divergence) soit ici $1-KA_0 \approx 0$

La condition limite théorique serait $KA_0 = 1$ correspondant à l'équation différentielle d'un oscillateur harmonique de pulsation $\omega_0 = \frac{1}{\sqrt{LC}}$.

(Q n'intervient pas sur cette limite mais sur le temps caractéristique de la divergence)

On peut faire plaisir au concept du sujet en écrivant:

$$\frac{\omega_0}{Q} (1-KA_0) = 0$$

et en remarquant que pour 1 valeur de $(1-KA_0)$ très légèrement négative, le coefficient Q élevé rend $\frac{1-KA_0}{Q}$ d'autant plus proche de zéro.

ii) la fréquence de ces oscillations est $f_0 = \frac{\omega_0}{2\pi} = \frac{1}{2\pi\sqrt{LC}}$
à la limite de l'oscillateur harmonique.

En pratique, les non-linéarités induisent 1 périodicité plus grande des oscillations soit 1 fréquence + faible (TP)

c) Naisance des oscillations: présence d'un signal fournit contenant la fréquence f_0 (1 dirac contient toutes les fréquences à égalité d'amplitude) et évidemment $KA_0 > 1$ pour être dans le domaine de divergence (On raisonne bien sur le signe des coefficients de l'équation différentielle).

$$4^{\circ}) \frac{d^2 \underline{m}_3}{dt^2} - 10^4 \frac{d \underline{m}_3}{dt} + 9 \cdot 10^8 \underline{m}_3 = 0$$

a) $\omega_0^2 = 9 \cdot 10^8 \text{ rad.s}^{-2} \Rightarrow \omega_0 = 3 \cdot 10^4 \text{ rad.s}^{-1}$

$$(\underline{m}_3(t) = U e^{+\frac{t}{T}} \cos(\omega t + \varphi) \text{ (forme génératrice)})$$

$$\frac{d \underline{m}_3}{dt} = +\frac{U}{T} e^{+\frac{t}{T}} \omega \sin(\omega t + \varphi) - \omega U e^{+\frac{t}{T}} \sin(\omega t + \varphi)$$

$$\begin{aligned} \frac{d^2 \underline{m}_3}{dt^2} &= \frac{U}{T^2} e^{+\frac{t}{T}} \omega^2 \cos(\omega t + \varphi) - \frac{U}{T} \omega e^{+\frac{t}{T}} \sin(\omega t + \varphi) \\ &\quad - \frac{\omega^2}{T} U e^{+\frac{t}{T}} \sin(\omega t + \varphi) - \omega^2 U e^{+\frac{t}{T}} \cos(\omega t + \varphi) \end{aligned}$$

et donc pour que l'équation différentielle soit vérifiée il faut:

(1) $\int \left(\frac{1}{T^2} - \omega^2 \right) + \frac{\omega_0}{TQ} (1-KA_0) + \omega_0^2 = 0$ (coeff devant les ω)

(2) $\int -\frac{2\omega}{T} - \omega \omega_0 (1-KA_0) = 0$ (coeff devant les \sin)

De l'équation (2) on déduit que :

$$\frac{2}{\zeta} = \omega_0(KA_0 - 1)$$

et donc dans l'équation (1) :

$$\frac{1}{\zeta^2} - \Omega^2 - \frac{2}{\zeta^2 Q} + \omega_0^2 = 0$$

$$\text{donc: } \Omega^2 = \frac{1}{\zeta^2} \left(1 - \frac{2}{Q}\right) + \omega_0^2$$

$$\Omega^2 = \frac{\omega_0^2 (KA_0 - 1)^2}{4} \left(1 - \frac{2}{Q}\right) + \omega_0^2$$

$$\Omega = \omega_0 \sqrt{1 + \frac{(KA_0 - 1)^2}{4} \times \left(\frac{1}{Q} - \frac{1}{2}\right)}$$

$$\text{A.N: } \zeta = \frac{2}{\omega_0(KA_0 - 1)} = \frac{2}{Q \times 10^{-4}} = \frac{2}{25 \cdot 10^{-4}} = 8 \cdot 10^6 \text{ s}^{-2} \\ = 8 \mu\text{s}$$

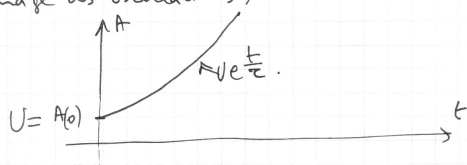
$$\text{et } \Omega = \sqrt{\omega_0^2 + \frac{1}{\zeta^2} \left(1 - \frac{2}{Q}\right)} \approx 123,6 \text{ rad. s}^{-1}$$

$$u_3(t) = U e^{\frac{t}{8 \cdot 10^6}} \omega \left(123,6 \cdot 10^3 t + \varphi \right)$$

interv?it?

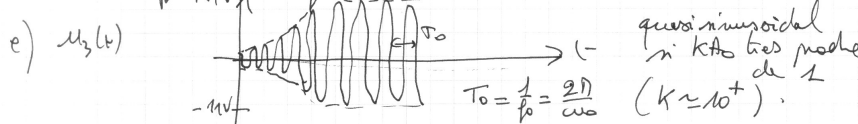
b) $A_{(b)} = U e^{\frac{t}{8 \cdot 10^6}}$ croissance exponentielle de l'amplitude.

c) on n'a aucune idée de l'amplitude initiale (provoquant le démarage des oscillations);



d) Stabilisation peut être due aux saturations en sortie de l'ALI (on a donné $V_{sat} = 11V$).

On suppose donc que $A_{max} = V_{sat} = 11V$



$$5^\circ) C = C_0 \left(1 - \frac{x}{\ell}\right) \text{ avec } \begin{cases} C_0 = 10 \mu\text{F} \\ \ell = 10 \text{ mm} \end{cases}$$

$$f_{osc} = \frac{D}{\sqrt{C}} \text{ avec } D = 1 \text{ Henry}$$

supposé infinitesimal exact!

$$\text{a) } f_{osc} = \frac{D}{\sqrt{C_0 \left(1 - \frac{x}{\ell}\right)}} = \frac{D}{\sqrt{C_0}} \times \frac{1}{\sqrt{1 - \frac{x}{\ell}}} \approx \frac{D}{\sqrt{C_0}} \left(1 + \frac{x}{2\ell}\right)$$

$x \ll \ell$
(Développement limité)
au premier ordre
en $\frac{x}{\ell}$

$$\begin{cases} a = \frac{D}{\sqrt{C_0} 2\ell} \\ b = \frac{D}{\sqrt{C_0}} = f_{osc} \end{cases}$$

$$\text{b) } \Delta f \equiv f_{osc} - f_{osc} \approx \frac{D}{\sqrt{C_0}} \left(1 + \frac{x}{2\ell}\right) - \frac{D}{\sqrt{C_0}} = \frac{Dx}{2\ell\sqrt{C_0}}$$

$$x_{min} = \frac{2\ell\sqrt{C_0}}{D} \times \Delta f_{min}$$

$$\text{A.N: } x_{min} = \frac{2 \times 10^{-2} \times \sqrt{10^{-5}}}{\text{soit } 1 \text{ ms de }} \times 3 = 1,9 \cdot 10^{-4} = 0,19 \text{ mm.}$$

EXERCICE 2 : Génération de signaux de nature et forme ?

1°) a) Manifestement un oscillateur astable puisque la tension Vout passe "très rapidement" de $-14V$ à $+14V$ (et inversement) et cette variation correspond au $\pm 14V$ donné pour le "Maximum Output Voltage Swing" dans les caractéristiques du LT1001.

Un oscillateur est astable si il bascule périodiquement entre deux états qui seraient stables (saturations ici) si un phénomène de relaxation de temps caractéristique τ ne provoquait pas systématiquement un basculement dans l'autre état. Aucun des deux états n'est alors STABLE DANS CE CIRCUIT d'où le nom: ASTABLE.

b) on reconnaît les charges-décharges aux bornes d'un condensateur qui est soumis à des échelons $+V_{sat}$, $-V_{sat}$ dans 1 circuit RC série : le nœud est donc entre C_1 et R_1 .

c) Déjà dit. On l'a évalué ci environ $-14V \text{ et } +14V$

d) On peut évaluer C_1 avec :

① → le temps de relaxation du circuit $R_1 C_1$

$$\textcircled{2} \rightarrow \text{la période } T = 2R_1 C_1 \ln\left(\frac{R_2+2R_1}{R_2}\right)$$

① mesure de $R_1 C_1$ sur la courbe de charge du second graphique (Tao ④).

→ méthode de la tangente très imprecise.

$$\rightarrow \text{valeur de départ } V_{b\ominus} = \frac{R_2}{R_2+R_3} V_\ominus = -\frac{20}{30} 14 = -9,33V.$$

→ valeur asymptotique : $14V$.

$$\rightarrow \Delta V_{TOT} = 14 - (-9,33) = 23,33V.$$

$$\rightarrow \text{montée de } 23,33 \left(1 - \frac{1}{e}\right) \simeq 0,63 \times 23,33 = 14,75V$$

$$\rightarrow \text{soit 1 passage à } -9V + 14,75V = 5,75V \\ \text{à l'instant } t_2 = [52,5 \pm 1] \text{ ms.}$$

$$\text{avec } t_1 = [40,5 \pm 0,5] \text{ ms.}$$

$$\text{donc (au pire)} : \tau = t_2 - t_1 = 12,5 \text{ ms} \pm 1,5 \text{ ms}$$

En négligeant l'erreur sur R_1 :

$$\frac{\Delta \tau}{\tau} = \frac{\Delta C_1}{C_1}$$

$$\text{donc} : C_1 = \frac{\tau}{R_1} = \frac{12,5 \cdot 10^{-3}}{10 \cdot 10^3} = 1,25 \cdot 10^{-6} F \\ \simeq 1,25 \mu F.$$

$$\text{ou} \quad \frac{\Delta \tau}{\tau} = \frac{1,5}{12,5} = 12\% = \frac{\Delta C_1}{C_1}$$

$$\Rightarrow \Delta C_1 \simeq 0,15 \mu F$$

$$\Rightarrow [C_1 = [1,25 \pm 0,15] \mu F]$$

② évaluation de la période : $4T = [138 \pm 2] \text{ ms.}$

$$\Rightarrow T = [34,5 \pm 0,5] \text{ ms.}$$

$$\text{estimation de } C_1 \Rightarrow C_1 = \frac{T}{2R_1 \ln\left(\frac{R_2+2R_1}{R_2}\right)} = \frac{1,07 \cdot 10^{-6}}{\simeq 1,1 \mu F}$$

évaluation de l'incertitude en négligeant celle sur les résistances.

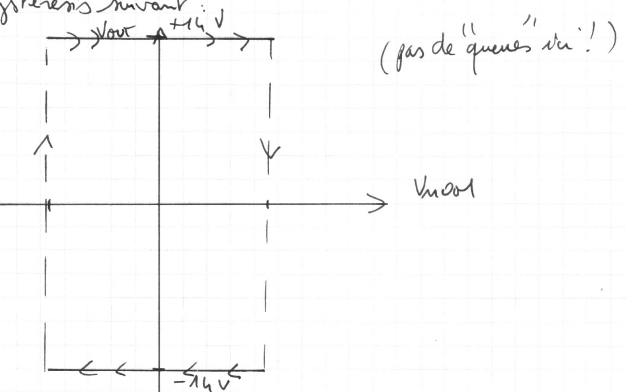
$$\Rightarrow \frac{\Delta T}{T} = \frac{\Delta C_1}{C_1} \Rightarrow \Delta C_1 = C_1 \times \frac{\Delta T}{T} = 0,016 \mu F$$

$$\Rightarrow C_1 = [1,07 \pm 0,02] \mu F.$$

les deux intervalles ont 1 intersection nulle !

On pourra estimer C_1 à $1,1 \mu F$.

e) En observant $V_{(001)}$ en X et $V_{(010)}$ en Y, on relevera le cycle d'hystérésis suivant



Comparateur non inverseur puisque sens de parcours horaire

2°) le transittoire dure environ 1 ms (fluctuations de comportement avant d'arriver à $\frac{1}{4} T$ régime permanent prédictive).

$$a) V_{(010)PP} = 2 \times 9,3 = [18,6 \pm 1] V$$

$$b) 2T' = 1,16 - 0,82 \Rightarrow T' = [0,17 \pm 0,02] \text{ ms} (\simeq 170 \mu \text{s} \text{ sur les 2 dernières!})$$

$$T'_{TH} = 2 \times 10 \cdot 10^3 \times 10^{-2} \times 10^{-6} \ln\left(\frac{12}{10}\right) \simeq 3,65 \cdot 10^{-5} \\ T'_{TH} \simeq [36 \pm 1] \mu s$$

Aucune commune mesure entre T' et T'_{TH} !

Interprétation : la théorie correspondait à une sortie basculant de $-14V$ à $+14V$! et non à ce tracé angulaire !

→ suspicion de SLOW-RATE (point maximal du signal de sortie atteint !)

c) estimation des pentes. (ordre de grandeurs suffisant).
Montée (et descente) de $\approx 19V$ en $80\mu s$ environ.

$$\text{soit } \frac{19}{80} \approx 0,24 \text{ V}/\mu s$$

\Rightarrow Valeur typique du SLOW RATE

dans les caractéristiques (datasheets)

$$\Rightarrow 0,25 \text{ V}/\mu s$$

(tout à fait cohérent.)

d) Du coup comme la pente est fixée par l'ALI, il faut diminuer les valeurs de basculement donc le rapport entre R_2 et R_3 . Mais naturellement l'amplitude du signal obtenu est liée.

Un ALI avec 1 meilleur slew-rate comme 1 TL081 ou 1 TL071 a 1 slew-rate d'environ $13 \text{ V}/\mu s$.

(40 à 50 fois meilleur que celui-ci !)

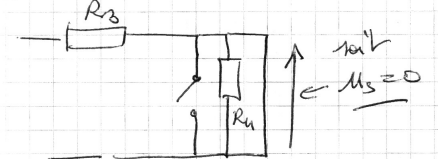
On gagnera 1 peu en fréquence maximale.



Exercice ③ : Détection de métal

10) Le montage à ALI est l'amplificateur non-inverseur

Aux BF le filtre suivant le montage amplificateur devient :



et aux HF :



Il s'agit donc d'un filtre passe-bande qui ne peut-être que du second ordre

$$20) Z_S = \frac{1}{\frac{1}{Rn} + \frac{1}{jL\omega} + jC\omega} = \frac{R_4}{1 + j(R_4C\omega - \frac{R_4}{L\omega})}$$

(diodes en //).

et donc l'impédance réelle de :

$$Z_S = |Z_S| = \sqrt{1 + (R_4C\omega - \frac{R_4}{L\omega})^2}$$

Cette impédance est maximale quand la racine du dénominateur est minimale soit quand

$$R_4(C\omega - \frac{1}{L\omega}) = 0 \text{ i.e. } \omega_0 = \frac{1}{\sqrt{L_0 C}}$$

et l'impédance vaut alors :

$$Z_S(\omega_0) = R_4$$

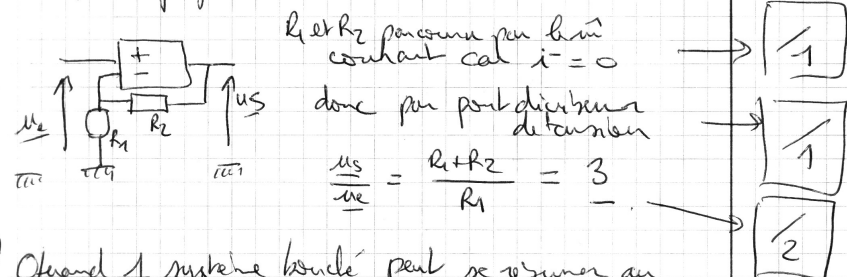
Le gain du filtre est obtenu par point division de tension : $G(\omega_0) = \frac{R_4}{R_4 + R_3} = \frac{2}{3}$

$$\text{A.N pour } \omega = \frac{1}{\sqrt{L_1 C_1}} = \frac{1}{\sqrt{82 \cdot 10^{-3} \cdot 15.16 \cdot 10^{-9}}} = \frac{1}{\sqrt{3 \cdot 10^{-6}}} \text{ rad/s.}$$

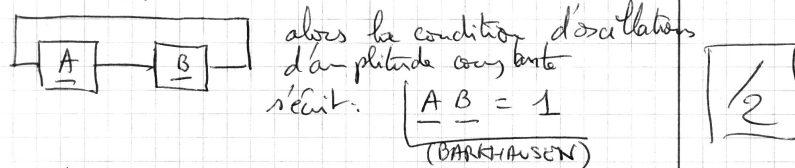
$$\omega = \frac{1}{\sqrt{3}} \cdot 10^5 \approx 0.58 \cdot 10^5 = 58 \cdot 10^3 \text{ rad/s.}$$

(with $T = \frac{2\pi}{\omega} \approx \frac{6.3}{58 \cdot 10^3} \approx 0.11 \cdot 10^{-3} \text{ s}$)

3) Montage amplificateur non-inverseur :



4) Quand un système bouclé peut se ramener au schéma-bloc suivant :



Dans notre montage : $A = 3 = \frac{R_2 + R_1}{R_1}$

$$\text{et } B = \frac{\frac{R_1}{1+jR_1(C_1w - \frac{1}{L_1w})}}{R_3 + \frac{\frac{R_1}{1+jR_1(C_1w - \frac{1}{L_1w})}}{1+jR_1(C_1w - \frac{1}{L_1w})}}$$

Donc BARKHAUSEN s'écrit :

$$\frac{R_2 + R_1}{R_1} \frac{\frac{R_1}{1+jR_1(C_1w - \frac{1}{L_1w})}}{R_3 + R_1 + jR_1R_3(C_1w - \frac{1}{L_1w})} = 1$$

et le gain de boucle :

$$\frac{R_2 + R_1}{R_1} \frac{\frac{R_1}{\sqrt{(R_3 + R_1)^2 + (R_1R_3(C_1w - \frac{1}{L_1w}))^2}}}{\sqrt{(R_3 + R_1)^2 + (R_1R_3(C_1w - \frac{1}{L_1w}))^2}}$$

qui est vrai pour $w = \frac{1}{\sqrt{L_1 C_1}}$ et

$$\text{vaut alors } \frac{R_2 + R_1}{R_1} \times \frac{R_1}{R_3 + R_1} = 3 \times \frac{2}{3} = 2$$

Il y a donc une large plage de w pour lesquelles le gain de boucle est supérieur à 1 mais la seule pulsation pour laquelle le signal n'est pas déphasé par la boucle reste $w = \frac{1}{\sqrt{L_1 C_1}}$ où $G = 2$.

L'analyse de la courbe Annexee permet de confirmer que la transitoire est obtenue en peu de périodes et que les phases de saturation du régime permanent sont longues (comparées aux phases de montée et descente). Cela est cohérent avec un gain de boucle trop élevé.

$$\text{La périodicité sera donc } T_{\text{oscill.}} > T_1 = \frac{2\pi}{\omega_1} = 0.11 \text{ ms}$$

la mesure de $T_{\text{mesuré}}$ donne environ :

$$T_{\text{mesuré}} = \frac{1}{9} \text{ ms} \approx 0.11 \text{ ms}$$

(très proche tant de ω)

5) Oscillation associée à $20 \text{ mH} \rightarrow w + fort \rightarrow T + faible$.

Il s'agit donc de la courbe présentant des périodes très courtes c'est à-dire celle du bas

25 périodes entre 3,5 et 6,3 ms

$$\Rightarrow \frac{6.3 - 3.5}{25} \approx 0.11 \text{ ms}$$

(quasi-symétrique à celle du quasi-minimal).

6) $\text{Slope-rate} \rightarrow \# 10 \text{ V/}\mu\text{s}$.

On demande ici de monter d'environ 30 V en environ $T_2 \approx 0.05 \text{ ms}$

$$\text{soit pente max } \approx \frac{30}{0.05} = 0.6 \text{ V/}\mu\text{s}$$

(pas de boucle)

• facteur de vitesse $\# 3 \text{ MHz}$

ici gain de 3 $\rightarrow f_c \# 1 \text{ MHz}$

on est nettement au-dessus

SR valeur

1 1

comparaison

1 1

FM valeur

1 1

comparaison

1 1

$$7) \quad M_1(t) = U_1 \sqrt{2} \cos(2\pi f_1 t + \phi_1)$$

$$M_2(t) = U_2 \sqrt{2} \cos(2\pi f_2 t + \phi_2)$$

$$S(t) = \frac{2U_1 U_2}{10} \cos(2\pi f_1 t + \phi_1) \cos(2\pi f_2 t + \phi_2)$$

donc:

$$S(t) = \frac{2U_1 U_2}{10} \frac{1}{2} [\cos(2\pi(f_1+f_2)t + (\phi_1+\phi_2)) + \cos(2\pi(f_1-f_2)t + (\phi_1-\phi_2))]$$

le signal de sortie du multiplicateur contient deux

composants sinusoidaux de m^e amplitude $\frac{U_1 U_2}{10}$

et de fréquence: $|f_1+f_2|$ et $|f_1-f_2|$

Il ne s'agit donc pas d'un opérateur linéaire
puisque 1 signal sinusoidal ne donne
pas 1 signal sinusoidal de m^e fréquence en sortie



8^{a)} Dans le premier chronogramme (sortie du multiplicateur)

on observe bien la superposition de 2 sinusoides de fréquence \neq et semblable m^e amplitude

la "longue période" correspond nécessairement à la fréquence $|f_1-f_2|$.

Aux bornes du condensateur, le filtrage (réalisé par un RC série passe-bas du 1^{er} ordre) permet de supprimer seulement la sinusode basse-fréquence.

Une mesure sur 2 périodes en régime établi donne

$$T \approx \frac{(19-10) \text{ ms}}{2} = 4,5 \text{ ms}$$

$$\text{et } f \approx \frac{1}{4,5 \cdot 10^{-3}} \approx 0,22 \text{ Hz} = 220 \text{ Hz}$$

Il s'agira d'un son assez grave (et donc + supportable à l'oreille). (longue à régler électrique alimentaire + Haut Parleur)



9^{o)} La différence de fréquence est directement liée à la différence des auto-inductances perçue:

$$f = \frac{\omega}{2\pi} = \frac{1}{2\pi \sqrt{L_1 L_2}}$$

Dans la mesure où les variations relatives restent faibles, on peut utiliser le calcul différentiel pour écrire: $\frac{df}{f} = -\frac{1}{2} \frac{dL_1}{L_1}$ (L_2 fixe).

$$\text{soit pour les variations: } \frac{|\Delta f|}{f} = -\frac{1}{2} \frac{\Delta L_1}{L_1}$$

$|\Delta f| = |f_2 - f_1|$ représente la fréquence différentielle théorique

$$\Rightarrow |\Delta f| \approx f_1 \times \frac{1}{2} \frac{1 \text{ mH}}{20 \text{ mH}} = \frac{f_1}{40} \approx \frac{9000}{40} = 225 \text{ Hz}$$

$$|\Delta f| \approx 225 \text{ Hz} \quad \begin{matrix} \text{(cohérent} \\ \text{avec le } 220 \text{ Hz} \\ \text{relativ)} \end{matrix}$$

10^{o)} les pics à 220 Hz et $|f_{HF}| \approx 9+9,2 = 18,2 \text{ Hz}$

ont m^e amplitude en dB ($\approx 10 \text{ dB}$)

ce que donnait en effet la sortie du multiplicateur

les pics décroissants suivant sont les harmoniques

encore présents mais leur amplitude est au plus

de -35 dB pour des pics principaux à environ +10 dB

$\rightarrow 45 \text{ dB de différence} \rightarrow \text{facteur } > 100!$
(100x plus forts).

Ecart en dB de $(+3 \text{ dB} - (-37 \text{ dB})) \approx 40 \text{ dB}$

\rightarrow la encore 1 facteur 100

le signal HF a été étiré par 100 en amplitude!
(par le filtre)

11^{o)} $\Delta f' = 1,8 \text{ Hz}$ (au 100 (220 < 200 Hz))

$$\text{et donc } \frac{\Delta L'}{L} = 2 \times \frac{\Delta f'}{f_1} \approx 2 \times \frac{1,8}{220} \approx 1,6 \%$$

